

## بکارگیری مدل SDSM جهت ریزمقیاس نمائی داده‌های GCM بارش و دما مطالعه موردي:

### پیش‌بینی‌های اقلیمی ایستگاهی در ایران

سینا صمدی نقاب<sup>۱</sup>، علی‌محمد خورشید دوست<sup>۲</sup>، مجید حبیبی نو خندان<sup>۳</sup>، فاطمه زابل عباسی<sup>۴</sup>

۱. سرپرست گروه پژوهشی اقلیم‌شناسی بلایای جوی، پژوهشکده اقلیم‌شناسی

۲. دانشیار گروه جغرافیای دانشگاه تبریز

۳. استادیار پژوهش کده اقلیم شناسی

۴. گروه پژوهشی اقلیم‌شناسی کاربردی، پژوهشکده اقلیم شناسی

تاریخ دریافت: ۱۳۸۹/۷/۲۵ تاریخ پذیرش: ۱۳۹۰/۰۴/۱۴

#### چکیده

بکارگیری روش‌های جدید در حل معادلات جوی و در اختیار داشتن پیش‌بینی‌های اقلیمی با توجه به ماهیت بازه زمانی طولانی مدت آن‌ها، نقش بسیار ارزنده‌ای در مدیریت‌های کلان ایفا می‌نماید. ولیکن در بازه زمانی دراز مدت به دلیل محدودیت جدی در قدرت تفکیک مکانی، قادر به پیش‌بینی آب و هوای واقعی در مقیاس ایستگاهی و خرد مقیاس نمی‌باشد. لذا جهت به کارگیری خروجی مدل‌های اقلیمی تمام کره‌ای و دستیابی به قدرت تفکیک فضائی کم، روش ریز مقیاس نمائی مورد استفاده قرار گرفته که به دو دسته آماری و دینامیکی و گاه‌ها تلفیقی از آن دو تقسیم‌بندی می‌گردد. در این میان صحت سنجی داده‌های ریزمقیاس شده جهت تحلیل پیش‌بینی‌های درازمدت به عنوان یکی از پارامترهای اساسی در کسب دقت این گونه مدل‌ها از اهمیت ویژه‌ای برخوردار است. در این تحقیق سعی گردیده تا با انتخاب کل منطقه کشور و ابتدا برای ۴۱ ایستگاه منتخب کشور که دارای آمار اقلیمی ۴۱ ساله (۱۹۶۱–۲۰۰۱) می‌باشند، خروجی مدل اقلیمی HadCM3 تحت سناریوی اقلیمی A2 که یکی از محتمل‌ترین سناریوهای انتشار می‌باشد، توسط مدل SDSM که قادر است خروجی مدل‌های گردش عمومی جو را به مقیاس ایستگاهی تبدیل نماید، ریزمقیاس گردد. سپس با استفاده از روش‌های آماری و بدست آوردن ضرائب وزنی داده‌های ریزمقیاس شده و داده‌های پایه را مورد تجزیه و تحلیل قرار داده و واسنجی مناسبی از آنها ارائه گردد. نتایج بیان گر آن است که بین مقادیر ریزمقیاس شده بارش، دمای کمینه و بیشینه و مقادیر واقعی آنها تفاوت معنا داری با خطای بحرانی ۰/۰۵ وجود ندارد و بازه اطمینان داده‌ها مشتمل بر مقدار صفر است. لذا به کارگیری داده‌های ریزمقیاس شده مدل جهت بهینه‌سازی داده‌های آینده در مقیاس ایستگاهی می‌تواند به صورت قابل قبول مورد استفاده قرار گیرد.

**کلید واژه‌ها:** مدل گردش عمومی GCM، ریزمقیاس، سناریوهای اقلیمی، مدل‌های اقلیمی

## مقدمه

مدل‌های اقلیمی مختلفی اجرا شده و داده‌های خروجی آنها دارای پیش‌بینی‌های بلند مدت بوده که در دسترس نیز می‌باشد، ولیکن استفاده مستقیم از این داده‌ها جهت بکارگیری در پیش‌بینی‌های طولانی مدت و فصلی در یک منطقه خاص دارای خطا بوده و نیازمند بکارگیری روش‌های خاصی می‌باشد (باباییان، ۱۳۸۵).

معمولًا دو روش بررسی نسبت به سایر روش‌ها از اهمیت بیشتری برخوردار است. در روش اول با استفاده از داده‌های هواشناسی موجود و با در اختیار گرفتن روش‌های ریاضی و آماری سری‌های زمانی پارامترها بررسی و پیش‌بینی صورت می‌گیرد.

در روش دوم از مدل‌های تغییر مقیاس استفاده می‌شود. در این مدل‌ها با در نظر گرفتن شرایط دینامیکی جو و با فرض سناریوی اقلیمی مشخص قدرت تفکیک فضائی و زمانی خروجی مدل‌های گردش عمومی تغییر می‌یابد (Hellstrom, 2006).

ولیکن با توجه به پارامترهای دیگری که تاثیرگذار بر ارائه این پیش‌بینی‌ها می‌باشد بکارگیری هر دو روش آماری و دینامیکی می‌تواند دقت کار را افزایش بخشد. مقاله سی. اس. تامسون<sup>۱</sup> و آ.ب. مولان<sup>۲</sup> از مطالعات شاخص در این زمینه می‌باشد که در آن اقلیم ایستگاه‌های هواشناسی کشور نیوزلند تا ۳۰ سال آینده مدل شده است.

جي. ال. جانسون<sup>۳</sup> و همکارانشان از مرکز تحقیقات منابع آب شمال‌غرب آمریکا در مجله هواشناسی کاربردی انجمان هواشناسی آمریکا عملکرد و قدرت مدل‌سازی دو مدل مختلف تولید داده‌های آب و هواشناسی به نام‌های CLIGEN و USCLIMATE را مورد بررسی قراردادند. آر. دی. هارمل و همکارانش در موسسه تحقیقات

با توجه به وقوع بلایای متعدد در کشور و بروز خسارات جانی، مالی، اجتماعی و غیره که ما هرساله شاهد آن هستیم، در اختیار داشتن سیستم پیش‌آگاهی به موقع و جامع می‌تواند کمک بسیار شایانی به کاهش خسارات واردہ نموده و موجب به حداقل رساندن میزان صدمات و خسارات به بخش‌های مختلف جامعه از جمله کشاورزی، صنعت، اقتصاد و سایر ... گردد (صمدی، ۱۳۸۶).

جهت ارائه مدیریت بهینه و کارا در حد کلان، از روش‌های گوناگونی می‌توان به عنوان ابزاری مناسب بهره جست. یکی از این روش‌ها به کار گیری خروجی مدل‌های گردش عمومی و منطقه‌ای جو می‌باشد (Ragab, 2000). ابزار اصلی پیش‌بینی اقلیم در آینده بوده و ما را قادر می‌سازند تا حساسیت سیستم اقلیمی را در برابر عوامل تأثیرگذار روی آن مانند غلظت گازهای گلخانه‌ای و مکانیزم‌های تغییرپذیری و تغییر اقلیم مورد بررسی قرار دهیم (Lane, 1999).

این مدل‌ها، فرآیندهای مختلف و مهم را برای سیستم اقلیمی جفت شده جو، اقیانوس و سطح زمین در نظر گرفته و بر هم کنش‌های بین آنها را مورد توجه قرار می‌دهند (باباییان، ۱۳۸۶). فرآیندهای مهم جوی، اقیانوس و سطح زمین از قبیل بر هم کنش بین ابرها و تابش، مکانیزم‌های تولید باران، ترکیب جو و اقیانوس، انتقال گرمای و رطوبت از طریق خاک و انجام آب روی سطح دریا، زمین و جو و غیره را میتوان در این مدل‌ها جستجو نمود.

مدل‌های اقلیمی در حال حاضر در مدل‌های سیستم زمینی نیز، در حال توسعه هستند. با توجه به اینکه در بسیاری از مراکز مهم تحقیقات اقلیمی در سراسر جهان

<sup>1</sup>. C.S.thompson

<sup>2</sup>. G.L.Johnson

<sup>2</sup>. A.B.Mullan

مورد استفاده قرار می گیرند (Schmidli, 2004). این مدل‌ها بر پایه قوانین فیزیکی که بوسیله روابط ریاضی ارائه می‌شود استوار می‌باشد. روابط ریاضی این مدل‌ها در شبکه‌های سه بعدی، با مقیاس مکانی افقی ۲۵۰ تا ۶۰۰ کیلومتر و ۱۰ تا ۲۰ لایه اتمسفری و ۳۰ لایه در اقیانوس حل می‌شوند (آشفته، ۱۳۸۶).

این مدل‌ها قادر خواهند بود تا سیستم اقلیمی را بالحاظ نمودن اکثر فرایندها و پارامترهای اقلیمی شناخته شده در ابعاد جهانی و یا قاره‌ای به طور کامل و دقیق شبیه‌سازی نمایند. این نکته نیز در این مدل بسیار حائز اهمیت است که مقیاس‌های زمانی مدل توسط مقیاس‌های مکانی (افقی) محدود می‌شوند (صمدی، ۱۳۸۳).

تاکنون مدل‌های گردش عمومی مختلفی در مراکز گوناگون تحقیقاتی تدوین و طراحی شده است. از آن جمله می‌توان به مدل‌های ECHAM4، HadCM3، NCAR، GFDL، CGCM2، CSIRO، CCSR و اشاره نمود (Widmann, 2003).

کشاورزی آمریکا دمای کمینه و بیشینه ایستگاه‌های هواشناسی آمریکا را با استفاده از روش‌های آماری مدل کردند.

## مواد و روش‌ها

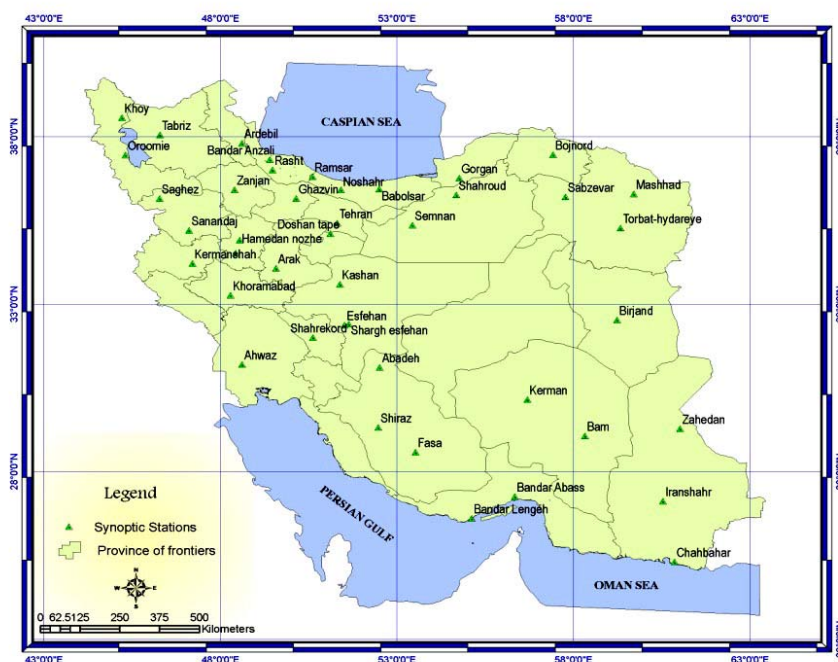
### ۱. معرفی بر منطقه مورد مطالعه

این مطالعه بر روی ۴۱ ایستگاه همدیدی کشور انجام شده است که توزیع جغرافیایی و مشخصات این ایستگاه‌ها در شکل ۱ ارائه شده است.

ایستگاه‌هایی که دارای داده‌های ناقص قابل توجهی بودند، در این تحقیق حذف گردیده‌اند. با توجه به اینکه طول دوره آماری ایستگاه‌های مذکور یکسان نمی‌باشد، لذا دوره زمانی ۱۹۶۱ تا ۲۰۰۱ میلادی (۴۱ ساله) به عنوان دوره اقلیمی پایه لحاظ گردیده است.

### ۲. مدل‌های گردش عمومی<sup>۱</sup> (GCM)

مدل‌های گردش عمومی، مدل‌های سه بعدی می‌باشند که به عنوان معتبرترین ابزار جهت تولید سناریوهای اقلیمی



شکل ۱. موقعیت جغرافیایی ایستگاه‌های همدیدی کشور

<sup>۱</sup>. General Circulation Models

جدول ۱. مشخصات سناریوی A2 در سال ۲۱۰۰ نسبت به سال ۱۹۹۰ میلادی (IPCC-TGCIA-1999,69)

GDP جهانی (10 <sup>12</sup> \$)	افزایش سطح آب دریا (cm)	متوسط دمای کره زمین	غازهای CO <sub>2</sub> (ppmv)	جمعیت (میلیارد نفر)	سناریو
۲۴۳	(۲۷-۱۰۷) ۶۲	(۲/۱-۴/۴) ۳/۱	۸۳۴	۱۵/۱	A2

در این روش ابتدا روابط بین داده‌های مشاهده شده تاریخی و داده‌های مدل بررسی و تعیین می‌شوند. این معادلات، پایه تبدیل داده‌های مدل برای سال‌های آینده خواهد بود. روش‌های رگرسیون چند متغیره، شبکه‌های عصبی، پارامترهای آماری بدون بعد و همبستگی‌های منطقی، نمونه‌ای از روش‌های آماری در زمینه تبدیل مقیاس هستند (مهدویان، ۱۳۸۳). در این تحقیق از خروجی مدل HadCM3 که در مرکز هادلی انگلستان اجرا می‌گردد (IPCC-DDC, 1988) و سناریوی اقلیمی A2 که محتمل‌ترین سناریوی انتشار می‌باشد، بعنوان داده‌های اقلیمی جهت ریز مقیاس نمائی استفاده گردید.

جدول ۲ مشخصات این مدل را نشان می‌دهد. جهت داده‌های پایه نیز از داده‌های ۴۱ ایستگاه همدیدی که دارای آمار ۴۱ ساله (۱۹۶۱-۲۰۰۱ میلادی) می‌باشدند استفاده گردیده است که مدل داده‌های بارش، دمای کمینه و دمای بیشینه می‌باشد. پس از اخذ داده‌های اقلیمی، به دوروش آماری و تحلیلی تبدیل مقیاس صورت می‌گیرد. رگرسیون و معادله بین داده‌های مشاهده شده در دوره پایه (که در این تحقیق دوره اقلیمی ۱۹۶۱-۲۰۰۱ میلادی در نظر گرفته شده) و داده‌های مدل در همین دوره محاسبه گردید.

برای داده‌های مشاهده شده ( $X_0$ ) و داده‌ای مدل ( $X_m$ ) ضریب رگرسیون خطی به فرم زیر محاسبه گردید.

(Hellstrom, 2006, 954)

$$r = \frac{n \sum X_0 X_m - (\sum X_0)(\sum X_m)}{\sqrt{[n(\sum X_0^2) - (\sum X_0)^2][n(\sum X_m^2) - (\sum X_m)^2]}} \quad (1)$$

<sup>۱</sup>- Down Scaling

از آنجا که مهمترین ورودی این مدل‌ها میزان انتشار گازهای گلخانه‌ای در دوره‌های آتی می‌باشد، از این رو سناریوهای مختلفی که در برگیرنده چگونگی تغییرات این گازها در آینده می‌باشد، ارائه شده که به سناریوهای انتشار معروفند. یکی از محتمل‌ترین این سناریوها سناریوی A2 از مجموعه سناریوهای SRES می‌باشد که توسط IPCC در سال ۱۹۹۸ ارائه گردید (IPCC, 1996).

مشخصات این سناریو در جدول ۱ بیان گردیده است.

## ۰ مواد و روش‌ها

برای استفاده از داده‌های مدل‌های GCM با استی تبدیل مقیاس زمانی و مکانی صورت گیرد تا داده‌ها از مقیاس تمام کره‌ای به مقیاس محل مورد مطالعه و در مقیاس زمانی ماهانه، روزانه و در مواردی کمتر از روز تبدیل گردد. تبدیل داده‌های مدل از مقیاس تمام کره‌ای به داده‌های مورد استفاده در مطالعات محلی و ایستگاهی را تبدیل مقیاس <sup>۱</sup> می‌گوییم (ابراهیمی، ۱۳۸۳). تبدیل مقیاس برای پارامترهای اقلیمی نیاز به شناخت کامل مدل داشته و بعضاً همراه با مشکلات و خطای خواهد بود. در این تحقیق جهت تبدیل مقیاس داده‌های اقلیمی از تمام کره‌ای به مقیاس ایستگاهی از مدل SDSM<sup>۲</sup> استفاده گردیده است که امروزه یکی از کارترین مدل‌ها جهت انجام مطالعات اقلیمی در سطح جهان محسوب می‌گردد. در این مدل اساساً جهت تبدیل مقیاس از روش‌های آماری و داده‌های تاریخی استفاده می‌شود.

<sup>2</sup>. Statistical Down Scaling Model

جدول ۲. مشخصات مدل HadCM3 (IPCC-TGCIA-1999,69)

سازنده	طول دوره شبیه سازی	دوره شبیه سازی	دقت مکانی OGCM (طول*عرض)	دقت مکانی AGCM (طول*عرض)
A1,A2,B1,B2	دوره کنترل: ۲۴۰ سال سازنده های SRES : 1950-2099	CO <sub>2</sub> : 1861-1989 SO <sub>2</sub> : 1860-1989	2.5*3.75	2.5*3.75

شرط پذیرش همبستگی بین داده های مدل با داده های مشاهده شده این است که مقدار آمار  $r$  محاسبه شده از فرمول زیر از مقدار بحرانی آن بیشتر باشد.

$$t = \frac{r}{\sqrt{\frac{1-r^2}{n-2}}} \quad H_0 : \rho = 0 \quad (5)$$

به عنوان نمونه شکل ۲ خروجی روشن خطی برای ایستگاه مشهد می باشد.

این روشن زمانی مناسب است که ضریب  $r$  باتوجه به فرمول (۱) قابل پذیرش باشد (ابراهیمی، ۱۳۸۳). در روشن تحلیلی روند خطی داده های مدل و داده های پایه تعیین و روند داده های آینده ارائه شده توسط مدل به

چنانچه مقادیر  $r$  محاسبه شده در سطح اطمینان موردنظر معنی دار باشد، معادله بین دونوع داده عبارت است از:

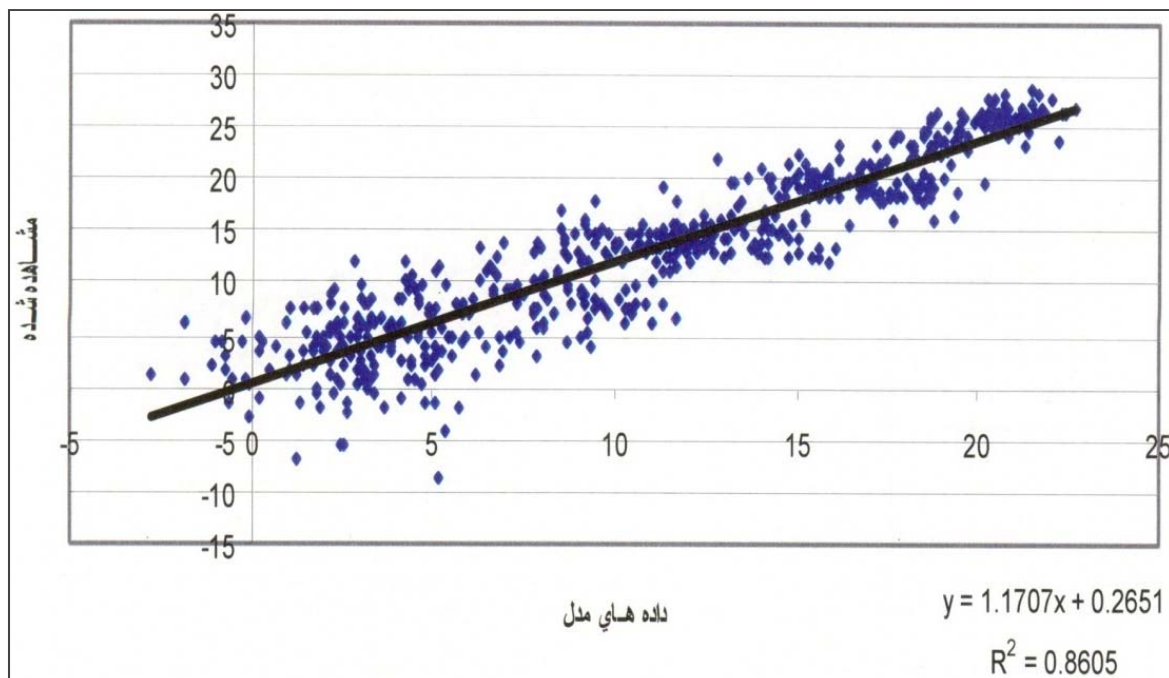
$$X_{0m} = a + mX_m \quad (2)$$

( $X_{0m}$ ) مقادیر تبدیل مقیاس شده، ( $X_m$ ) مقادیر محاسبه شده از مدل و  $m$  ضرایب ثابت بوده واژروابط زیر بدست می آیند.

$$m = \frac{n(\sum X_0 X_m) - (\sum X_0)(\sum X_m)}{n(\sum X_m^2) - (\sum X_0^2)} \quad (3)$$

$$a = \bar{X}_0 - m\bar{X}_m \quad (4)$$

در این معادله باداشتن داده های مدل برای سال های بعدی خواهیم توانست پیش بینی از شرایط واقعی داشته باشیم.



شکل ۲. نمونه ای از خروجی تبدیل مقیاس پارامتر دمای میانگین داده های مدل به روش رگرسیون برای ایستگاه مشهد

## نتایج

برای دستیابی به بهترین نتایج در هر مدلی، کالیبراسیون صحیح و صحت سنجی اطلاعات از اهمیت بسیار زیادی برخوردار است. از این‌رو، کالیبره کردن مدل با استفاده از ۴۱ سال داده‌های دیدهبانی در دوره پایه ۱۹۶۱–۲۰۰۱ میلادی و مقایسه آن با داده‌های تولیدشده توسط مدل SDSM برای داده‌های بارش، دمای بیشینه و دمای کمینه در این دوره صورت گرفت.

جهت صحت سنجی داده‌های کوچک مقیاس شده، ابتدا مدل برای دوره پایه اجرا گردید و مقادیر بارش، دمای کمینه و بیشینه و انحراف معیار آنها برای ۴۱ ایستگاه همدیدی ایران تعییه شد.

جداول ۳ و ۵ نتایج بدست آمده از اجرای مدل و همچنین مقادیر واقعی پارامترهای بترتیب بارش، دمای بیشینه و دمای کمینه را در دوره مذکور برای ماههای مختلف سال نشان می‌دهند. پارامترهای دمایی در ماههای مختلف سال نسبت به بارش دارای همخوانی بهتری می‌باشد.

انتهای داده‌های دیدهبانی شده منتقل می‌گردد (بزرگ نیا، ۱۳۶۶). تبدیل مقیاس با معادله زیر انجام پذیر است:

$$X_{0M} = X_M + (X_{T0} - X_{TM}) \quad (6)$$

$$X_{0M} = \text{داده‌های تبدیل مقیاس شده مدل}$$

$$X_M = \text{داده‌های خام مدل}$$

$X_{TO}$  = مقدار پارامتر در سال مورد نظر که از تابع خطی روند داده‌های تاریخی بدست می‌آید.

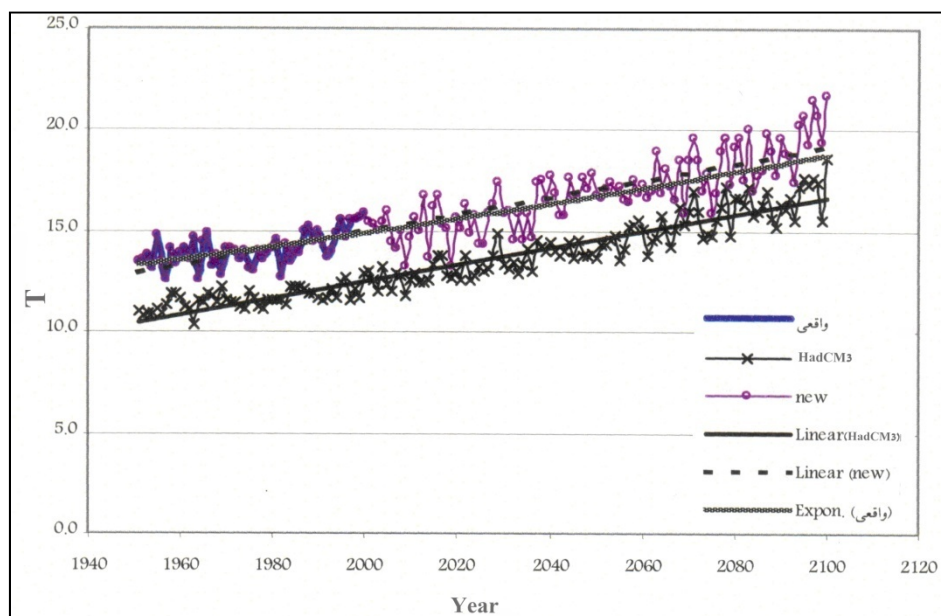
$X_{TM}$  = مقدار پارامتر در سال مورد نظر که از تابع خطی روند داده‌های مدل بدست می‌آید.

$$X_{TO} = a + bT \quad (7)$$

$$X_{TM} = a' + b'T$$

$a'$ ،  $b'$  و  $a$ ،  $b$  ضرایب ثابت معادلات خطی روند داده‌های مدل و دیدهبانی شده نسبت به زمان (سال) هستند (Jones, 1996).

نمونه‌ای از خروجی تبدیل مقیاس به روش تحلیلی که در ایستگاه مشهد اجرا گردیده است، در شکل ۳ ملاحظه می‌شود. در این روش روند تغییرات داده‌ها باید یکسان باشد.



شکل ۳. نمونه‌ای از خروجی تبدیل مقیاس پارامتر دمای میانگین داده‌های مدل به روش تحلیلی برای ایستگاه مشهد

## بکارگیری مدل SDSM جهت ریز مقیاس نمایی داده های GCM ...

که تفاوتی بین مقادیر مدل سازی و واقعی وجود ندارد.  
جدول ۷ نتایج بدست آمده از آزمون دونمونه ای زوجی t استیوتدنت را به منظور مقایسه مقادیر کوچک مقیاس شده و مقادیر واقعی را نشان می دهد، همانطور که مشاهده می شود بین مقادیر ریز مقیاس بارش، دمای کمینه و بیشینه شبیه سازی شده و مقادیر واقعی دیده بانی شده تفاوت معناداری با خطای بحرانی ۰/۰۵ وجود ندارد و بازه اطمینان داده های دمای کمینه و بیشینه و بارش مشتمل

بارش نیز در ماه های سرد سال نسبت به ماه های گرم سال جواب بهتری را در شبیه سازی ارائه نموده است. البته این همان انتظاری است که از مدل های اقلیمی نیز داریم. آمار توصیفی مقادیر کوچک مقیاس شده توسط مدل SDSM و واقعی در دوره پایه در جدول ۶ نشان داده شده است. سپس داده های خروجی مورد آزمون آماری قرار گرفتند. مقادیر میانگین و انحراف معیار محاسبه شده از داده های واقعی و بدست آمده از مدل می توانند بیانگر این امر باشند

جدول ۳: مقایسه میانگین بارش و انحراف معیار بدست آمده از مدل و مقادیر واقعی (دوره ۱۹۶۱-۲۰۰۱ میلادی)

دسامبر	نومبر	اکتبر	سپتامبر	اوت	ژوئیه	ژوئن	می	آوریل	مارس	فوریه	ژانویه	پارامتر
۳۰/۳	۱۳/۳	۷/۶	۱/۳	۰/۶	۰/۹	۳/۸	۱۹/۶	۳۷/۴	۴۸/۷	۴۰/۹	۳۶/۸	میانگین بارش دیده بانی
۳/۴	۲/۱	۱/۵	۰/۷	۰/۳	۰/۴	۱/۱	۲/۷	۳/۹	۴/۲	۴/۴	۳/۵	انحراف معیار داده های واقعی
۲۹/۷	۱۲/۹	۶	۱	۰/۶	۱/۶	۵/۲	۱۹/۳	۳۴/۶	۴۸/۹	۳۹	۳۶/۱	میانگین بارش مدل شده
۳/۱	۲/۲	۱/۴	۰/۸	۰/۴	۰/۴	۱/۲	۲/۷	۳/۵	۴/۱	۳/۹	۳/۴	انحراف معیار داده های مدل

جدول ۴: مقایسه میانگین بیشینه دما و انحراف معیار بدست آمده از مدل و مقادیر واقعی در دوره ۱۹۶۱-۲۰۰۱ میلادی

دسامبر	نومبر	اکتبر	سپتامبر	اوت	ژوئیه	ژوئن	می	آوریل	مارس	فوریه	ژانویه	پارامتر
۱۰/۴	۱۶/۸	۲۲/۶	۳۰/۳	۳۴	۳۵/۲	۳۳/۵	۲۸/۱	۲۲/۳	۱۵/۱	۹/۷	۷/۴	میانگین دمای نرمال
۵	۵	۴/۸	۴/۱	۳/۲	۳/۱	۳/۶	۴/۸	۵/۷	۶	۵/۷	۵/۴	انحراف معیار داده های واقعی
۱۰/۶	۱۶/۹	۲۲/۸	۳۰/۳	۳۳/۹	۳۵/۲	۳۳/۳	۲۸	۲۲/۱	۱۴/۹	۹/۷	۷/۶	میانگین دمای مدل شده
۵/۲	۵/۴	۵/۱	۴/۳	۳/۴	۳/۴	۴	۵/۱	۶	۶/۳	۶/۱	۵/۵	انحراف معیار مدل

جدول ۵: مقایسه میانگین کمینه دما و انحراف معیار بدست آمده از مدل و مقادیر واقعی در دوره ۱۹۶۱-۲۰۰۱ میلادی

دسامبر	نومبر	اکتبر	سپتامبر	اوت	ژوئیه	ژوئن	می	آوریل	مارس	فوریه	ژانویه	پارامتر
-۱/۲	۲/۸	۷/۷	۱۳/۳	۱۸/۲	۲۰/۵	۱۸/۱	۱۳/۶	۹/۱	۳/۱	-۱/۶	-۳/۵	میانگین دمای نرمال
۴/۵	۴/۸	۴/۵	۴/۴	۲/۹	۳/۵	۳/۸	۴	۴/۳	۴/۵	۵	۵/۱	انحراف معیار داده های واقعی
-۱/۲	۲/۸	۷/۷	۱۳/۴	۱۸/۱	۲۰/۲	۱۸	۱۳/۶	۸/۹	۳/۱	-۱/۶	-۳/۳	میانگین دمای مدل شده
۴/۶	۴/۶	۴/۸	۴/۶	۴	۳/۷	۳/۸	۴/۱	۴/۴	۴/۵	۵	۴/۹	انحراف معیار مدل

جدول ۶. آمار توصیفی داده‌های ریزمقیاس شده توسط مدل SDSM و داده‌های واقعی در دوره ۱۹۶۱–۲۰۰۱ میلادی

بیشینه دما	کمینه دما	بارش	وضعیت	
۲۲/۲۲	۸/۳	۲۰/۱	میانگین	داده‌های واقعی
۱۰/۱	۸/۴	۱۷/۸	انحراف استاندارد	
۲/۹	۲/۴	۵/۱	میانگین خطای انحراف استاندارد	
۲۲/۱۹	۸/۳	۱۹/۶	میانگین	داده‌های مدل‌سازی شده
۱۰/۰۶	۸/۳۶	۱۷/۳	انحراف استاندارد	
۲/۹	۲/۴	۵/۰	میانگین خطای انحراف استاندارد	

جدول ۷. مقایسه مقادیر ریزمقیاس مدل SDSM با مقادیر واقعی در دوره ۱۹۶۱–۲۰۰۱ میلادی

بیشینه دما	کمینه دما	بارش	آزمون
۰/۵	۰/۹	۱/۲	T-TEST
۰/۶	۰/۳	۰/۲	Significance level
/۰۵-۰/۱۳	/۰۰۳-۰/۰۹	۰۰/۲-۱/۲	95 Percent Confidence interval
۰/۹۹۸	۰/۹۹۹	۰/۹۹۹	Correlation

خطای مطلق داده‌های ریز مقیاس با استفاده از معادلات زیر محاسبه گردیدند:

$$\text{Bias} = \frac{1}{n} \sum_{i=1}^n (s_i - o_i) \quad (8)$$

$$\text{MAE} = \frac{1}{n} \sum_{i=1}^n |s_i - o_i| \quad (9)$$

بطوریکه  $s_i$  و  $o_i$  در آن به ترتیب نشان دهنده پارامتر مدل و دیدبانی شده هستند.

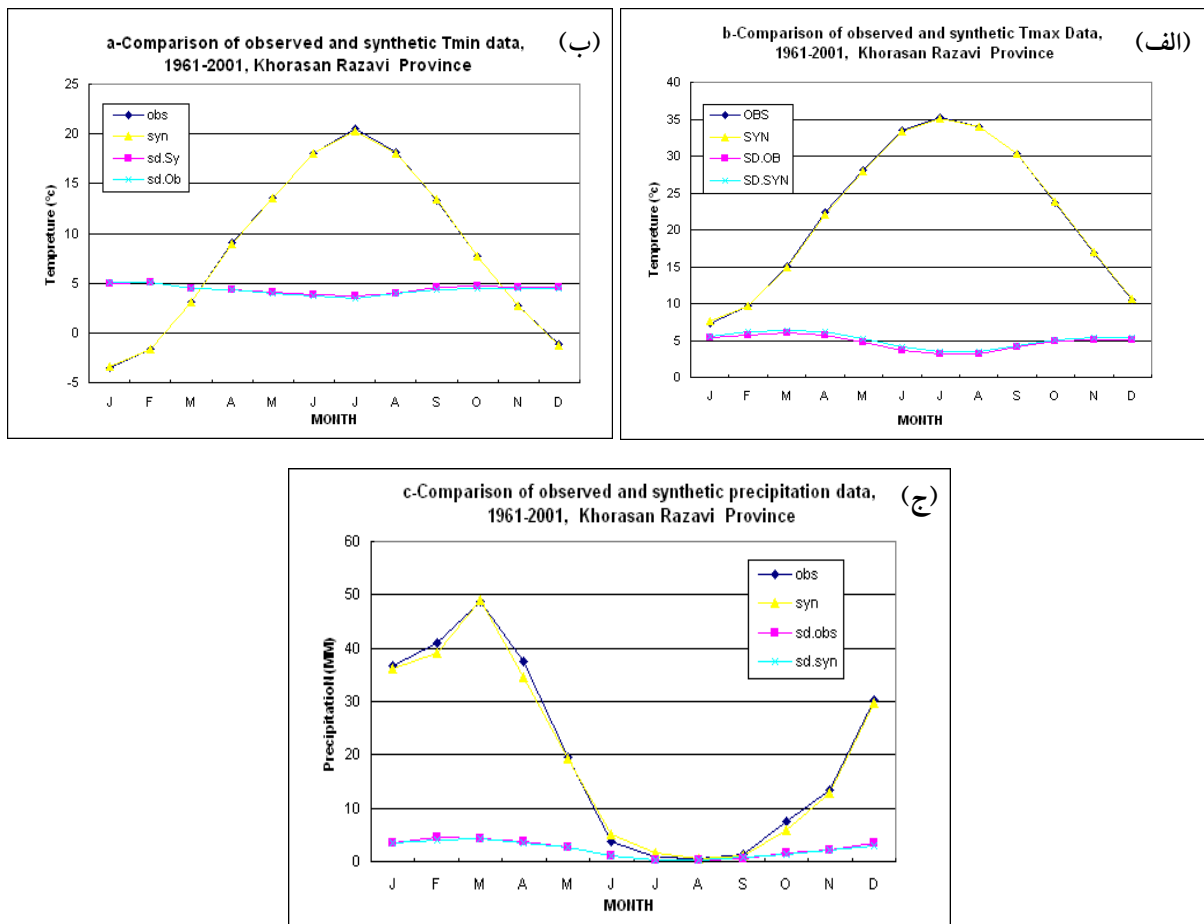
اندیس  $\alpha$  نشان دهنده ماههای سال است(۷). در جدول ۸ خطای مطلق و مقادیر بایاس هر یک از پارامترهای مورد مطالعه در کشور آورده شده است.

برمقدار صفر است. از طرفی مقادیر همبستگی بین مدل‌ها در سطح معناداری  $0/01$  قابل قبول می‌باشد شکل ۴ نمودارهای ترسیمی- مقایسه‌ای پارامترهای مذکور را نشان می‌دهد.

همانطور که مشاهده می‌شود مدل‌سازی دمای کمینه، بیشینه، بارش ریزمقیاس شده و همچنین انحراف معیار آنها با داده‌های واقعی دیدبانی شده مطابقت خوبی داشته و مدل به خوبی توانسته روند تغییرات پارامترهای مذکور در ماههای مختلف سال را مدل‌سازی نماید. مقدار بایاس و

جدول ۸: بایاس و میانگین خطای داده‌های مدل شده روزانه توسط SDSM نسبت به داده‌های دیدبانی شده

بارش		دمای حداقل		دمای حداکثر	
Bias	Mae	Bias	Mae	Bias	Mae
-۶	۰/۹	۰/۹	۰/۰۸	-۰/۳	۰/۲



شکل ۴ مقایسه داده های ریزمقیاس شده و دیدبانی شده برای پارامترهای الف. دمای بیشینه ب. دمای کمینه، ج. بارش دوره ۱۹۶۱-۲۰۰۱ میلادی)

بیشینه و کمینه می باشد نیز صادق است. البته همانطور که نقشه های پهنه بندی نیز بیانگر آنست، در نواحی مرکزی ایران مقداری اختلاف قابل رویت است که این خطاهای را می توان به دلیل شرایط توپوگرافی منطقه فوق الذکر و تا حدودی فقر داده های آماری دیده بانی شده در نواحی مرکزی کشور که ناشی از فاصله نسبتاً زیاد بین ایستگاه هی در این منطقه می باشد، دانست.

بطور کلی نتایج بیانگر این امر است که داده های ریزمقیاس شده به خوبی توانسته است همخوانی مناسبی با پارامترهای اقلیمی واقعی منطقه داشته باشند و میتوان با صحت بالا این داده ها را در شبیه سازی های دوره های آتی

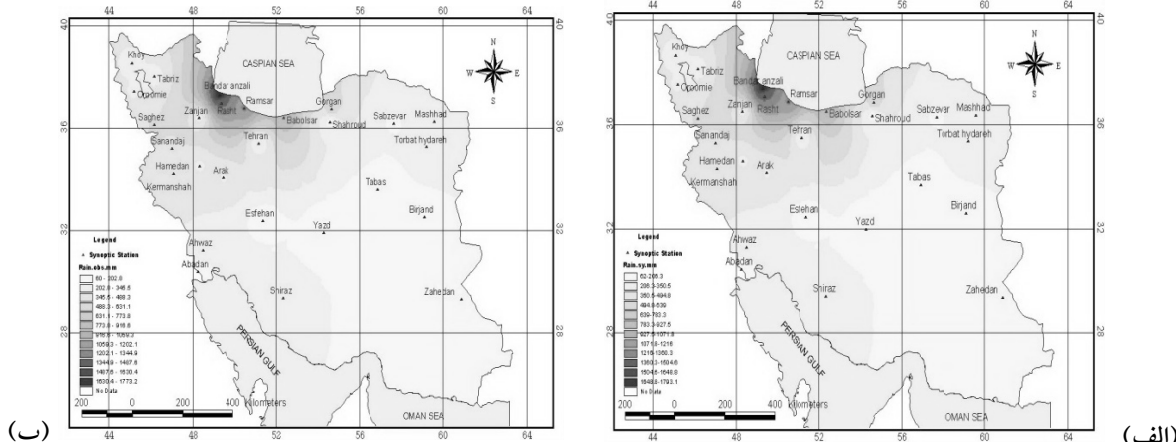
## بحث و نتیجه گیری

نتایج نشان می دهند که پارامترهای مذکور به خوبی توسط مدل ریزمقیاس شده اند و بطور کلی مدل توانمندی مدل سازی و ریزگردانی اقلیم دوره گذشته در ایستگاه های تحت مطالعه را دارا است. این نتیجه گیری در اشکال ۵ و ۶ و ۷ به وضوح قابل مشاهده می باشد.

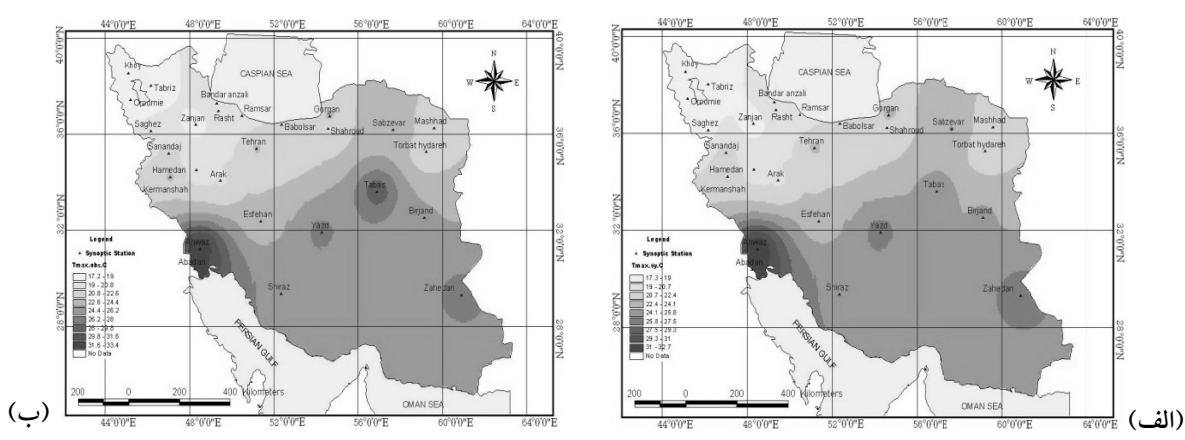
شکل ۵ پهنه بندی بارش در کشور را توسط داده های ریزمقیاس مدل (الف) و داده های دیده بانی (ب) نشان می دهد. پهنه بندی بارش بیانگر نتایج خوب ریزمقیاس نمایی داده های اقلیمی توسط مدل است. این نتیجه گیری در اشکال ۶ و ۷ نیز که مربوط به دمای

داشته و به کمک آن مدیریت‌های کلان آتی را در زمینه‌های بهره‌وری مناسب‌تر از منابع و بالاخص منابع آبی ارتقاء بخشد.

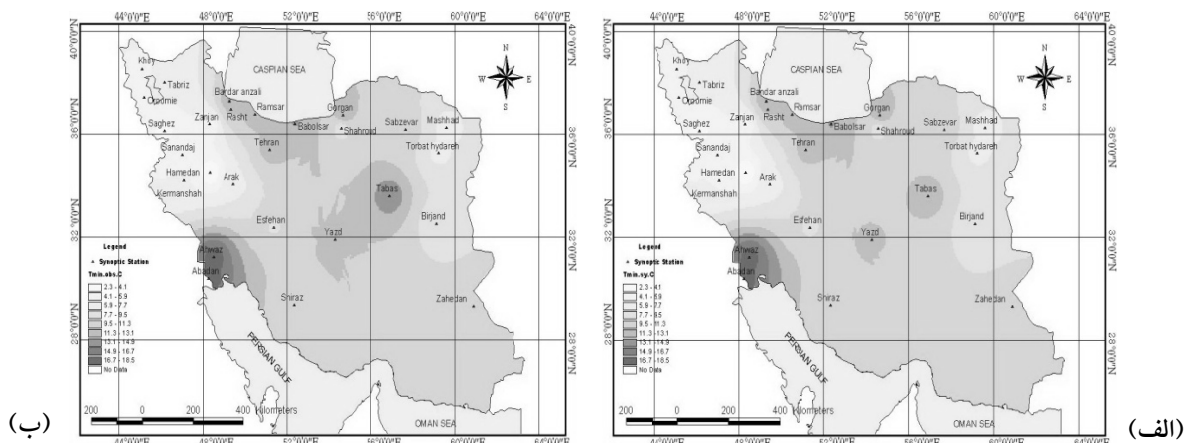
در مقیاس استگاهی و با بکارگیری مدل‌های آماری ایستگاه مقیاس ۱ بسط و توسعه داد و آینده‌نگری مناسب‌تری از شرایط آب و هواست در دوره‌های آینده



شکل ۵- پهنه‌بندی بارش در ایران (۱۹۶۱-۲۰۰۱). (الف) داده‌های مدل شده (ب) داده‌های دیده بانی شده



شکل ۶- پهنه‌بندی دمای بیشینه ایران (۱۹۶۱-۲۰۰۱). (الف) داده‌های مدل شده (ب) داده‌های دیده بانی شده



شکل ۷- پهنه‌بندی دمای کمینه ایران (۱۹۶۱-۲۰۰۱). (الف) داده‌های مدل شده (ب) داده‌های دیده بانی شده

<sup>۱</sup>- Station Scale

- استفاده از سری زمانی. طرح پژوهشی سازمان هواسنایی کشور.
9. Jones, P.D. and M. Hulme, 1996, **Calculating Regional Climate time series for temperature and precipitation: Methods and illustrations.** International, J. Climatol. 16:361-377.
  10. Hellstrom C. and Chen D., 2006, **Statistical Downscaling Based on Dynamically Downscaled Predictors: Application to Monthly Precipitation in Sweden,** Advances in Atmospheric Sciences, Vol. 20, No. 6, PP. 951–958
  11. Hummer, G.L., Nicholson, N., 1996, **managing for Climate Variability: the role of seasonal Climate forecasting in improving agricultural systems.** In: Proc. Second Australian Conference on Agricultural Meteorology, Bureau of Meteorology, Commonwealth of Australia, Melborn, Australia: 19-27.
  12. Lane, M.E., Kirshen, P.H. and Vogel, R.M. (1999). **Indicators of impact of global climate change on U.S. water resources.** ASCE, Journal of Water Resources Planning and Management. 125(4): 194-204
  13. IPPC, 1996, Climate change 1995, the science of climate change, Summary for Pllicymakers, contribution of working group1 to

## منابع

1. ابراهیمی، ح. ۱۳۸۳. بررسی پتانسیل اثر تغییر اقلیم بر مصارف آب کشاورزی دشت مشهد. رساله دوره دکتری. دانشگاه آزاد اسلامی واحد علوم و تحقیقات: ۶۹-۹۱.
2. آشفته، پ. س. مساح بوانی، ع. ۱۳۸۶. **تأثیر تغییر اقلیم بر شدت و فراوانی سیلاب در دوره‌های آتی، مطالعه موردی حوضه آیدوغموش آذربایجان شرقی،** کارگاه فنی اثرات تغییر اقلیم در مدیریت منابع آب: ۴۵-۳۲.
3. اندرسن، الف. ترجمه بزرگ نیا، الف. ۱۳۶۶. **جزیه و تحلیل سری های زمانی و پیش بینی.** چاپ اول، موسسه چاپ و انتشارات آستان قدس رضوی.
4. بابائیان، الف. نجفی نیک، ز. ۱۳۸۵. **ارزیابی تغییر اقلیم استان خراسان رضوی در دوره ۲۰۱۰-۲۰۳۹ با استفاده از ریز مقیاس نمایی خروجی مدل GCM.** پژوهشکده اقلیم‌شناسی.
5. بابائیان، الف. و همکاران. ۱۳۸۶. **پروژه مدلسازی اقلیم ایران در دوره ۲۰۱۰-۲۰۳۹ با استفاده از ریز مقیاس نمایی آماری خروجی مدل ECHO-G.** پژوهشکده اقلیم‌شناسی.
6. صمدی، س. ۱۳۸۳. **مدل‌های اقلیمی.** بولتن علمی پژوهشکده اقلیم‌شناسی. جلد چهارم. شماره سوم: ۱۳-۹.
7. صمدی، س. ۱۳۸۶. **پروژه ارائه پیش‌بینی‌های فصلی با روش تغییر مقیاس داده‌های GCM.** پژوهشکده اقلیم‌شناسی: ۷۱-۶۲.
8. مهدویان، ع. ۱۳۸۴. **تحلیل و پیش‌بینی بارندگی سالانه و فصلی در استان خراسان جنوبی با**

- Region**, Institute of Hydrology, NERC, Wallingford, OXON, OX10, 8BB, UK.
17. Schmidli J., 2004, **Statistical Downscaling using GCM Precipitation as a Predictor:** An evaluation for the European Alps, Proceeding of 9th International Meeting on Statistical Climatology:29-32
18. Widmann M. AND Bretherton C. S., 2003, **Statistical Precipitation Downscaling over the Northwestern United States Using Numerically Simulated Precipitation as a Predictor**, Journal of Climate, Vol 16: 801-803.
- the second assessment report of the intergovernmental panel on climate change, Cambridge University Press,Cambridge, UK
14. IPCC-DDC,1988,<http://ipcc-ddc.cru.uea.ac.uk/>
15. IPCC-TGCIA, 1999, Guidelines on the use of scenario data for climate impact and adaptation assessment. eds. Carter, T.R., Hulme, M. and Lal, M., Version 1,69 pp. Intergovernmental Panel on Climate Change, Task Group on Scenarios for Climate Impact Assessment.
16. Ragab, R., 2000, **Climate Change and Water Resources Management in the Arid**